



ГОСУДАРСТВЕННЫЙ НАУЧНЫЙ ЦЕНТР РОССИЙСКОЙ ФЕДЕРАЦИИ  
ИНСТИТУТ ФИЗИКИ ВЫСОКИХ ЭНЕРГИЙ

ИФВЭ 2009-1  
ОЭФ-ОТФ

С.В. Донсков, А.К. Лиходед, А.В. Лучинский, В.Д. Самойленко

Скалярные мезоны  $\sigma$  и  $a_0$   
в распаде  $\eta' \rightarrow \eta\pi^0\pi^0$

Направлено в ЯФ

Протвино 2009

**Аннотация**

Донсков С.В., Лиходед А.К., Лучинский А.В., Самойленко В.Д. Скалярные мезоны  $\sigma$  и  $a_0$  в распаде  $\eta' \rightarrow \eta\pi^0\pi^0$ : Препринт ИФВЭ 2009–1. – Протвино, 2009. – 9 с., 4 рис., библиогр.: 9.

Проведено изучение матричного элемента распада  $\eta' \rightarrow \eta\pi^0\pi^0$  с учетом скалярных мезонов  $\sigma$  и  $a_0$ . Получено хорошее согласие с экспериментальными данными.

**Abstract**

Donskov S.V., Likhoded A.K., Luchinsky A.V., Samoylenko V.D. Scalar Mesons  $\sigma$  and  $a_0$  in Decay  $\eta' \rightarrow \eta\pi^0\pi^0$ : IHEP Preprint 2009–1. – Protvino, 2009. – p. 9, figs. 4, refs.: 9.

The decay  $\eta' \rightarrow \eta\pi^0\pi^0$  was been studied with scalar mesons  $\sigma$  and  $a_0$ . A good agreement with experimental data was achieved.

## Введение

История прецизионного изучения распада

$$\eta' \rightarrow \eta\pi^0\pi^0 \quad (1)$$

начинается с работы [1], где впервые с высокой точностью были определены параметры квадрата матричного элемента распада (1) в линейном приближении. Используемая тогда феноменологическая модель основана на разложении квадрата матричного элемента  $M^2$  по переменным Далитца  $X$  и  $Y$ :

$$X = \frac{\sqrt{3}}{Q}(T_{\pi_1^0} - T_{\pi_2^0}), \quad Y = \left(2 + \frac{m_\eta}{m_{\pi^0}}\right)\frac{T_\eta}{Q} - 1, \quad (2)$$

где  $T_{\pi_1^0}, T_{\pi_2^0}, T_\eta$  — кинетические энергии  $\pi^0$ - и  $\eta$ -мезонов в системе покоя  $\eta'$ -мезона ( $T_{\pi_1^0} > T_{\pi_2^0}$ ),  $Q = T_{\pi_1^0} + T_{\pi_2^0} + T_\eta = m_{\eta'} - m_\eta - 2m_{\pi^0}$ . В настоящее время распространено представление с учетом квадратичных членов:

$$|M|^2 \propto 1 + aY + bY^2 + cX + dX^2, \quad (3)$$

$a, b, c, d$  — действительные параметры.

Этот подход был применен в последующих работах по изучению распада (1) в нейтральной [2] и заряженной [3] модах. В обоих случаях получено неплохое согласие в величинах коэффициентов разложения (3) и наблюдался квадратичный член  $dX^2$ .

Процесс  $\eta' \rightarrow \eta\pi\pi$  исследовался теоретически во многих работах, главным образом в контексте его связи с киральной теорией возмущений [5], что и определяло вид степенного разложения по  $X, Y$ . Все эффекты обмена резонансными состояниями представлены в таком формализме в виде набора контактных членов. Но масса  $\eta'$ -мезона велика настолько, что, как показано в работе [6], в физической области распада следует учитывать кинематическую зависимость матричного элемента, связанную с пропагаторами скалярных мезонов  $\sigma, f_0, a_0$ . В этой же работе показано, что вклад контактного члена в вероятность распада  $\eta' \rightarrow \eta\pi\pi$  пренебрежимо мал, и доминируют вклады  $\sigma$ -,  $a_0$ -мезонов и их интерференция.

Заметим, что в вышеупомянутой статье оба вклада от  $a_0$ - и  $\sigma$ -мезонов параметризованы обычной Брейт–Вигнеровской формулой, хотя в последнее время появился ряд работ, посвященных исследованию  $\sigma$ -резонанса, в которых получены новые результаты по определению  $\pi\pi$ -амплитуды в низкоэнергетической области с учетом аналитичности, унитарности и ее киральных свойств [6]. Поэтому в настоящей работе, в отличие от работы [6], где анализировались только парциальные ширины, мы опишем Далитц–плот распада  $\eta' \rightarrow \eta\pi\pi$  с учетом полученных параметризаций  $\pi\pi$ -амплитуды, включающей в себя полюс  $\sigma$ -мезона, а также модифицированной Брейт–Вигнеровской формы для  $a_0$ -мезона в  $\eta\pi$ -канале.

В первом разделе настоящей работы представлены параметризации для амплитуд рассеяния конечных мезонов в  $\pi\pi$ - и  $\eta\pi$ -каналах. В разделе 2 приведены численные результаты фита экспериментального Далитц–плота для этих параметризаций. Краткие выводы сделаны в заключении.

## 1. Матричный элемент

При описании Далитц–плота распада  $\eta' \rightarrow \eta\pi^0\pi^0$  мы учитываем вклады ближайших скалярных резонансов:  $\sigma$ -мезона — в  $\pi\pi$ - и  $a_0(980)$  — в  $\eta\pi$ -взаимодействиях (см. диаграммы на рис. 1). Вклад скалярного мезона  $f_0(980)$ , в соответствии с работой [6], не очень существен. К тому же мы используем полную  $\pi\pi$ -амплитуду в рассматриваемой кинематической области, где вклады  $\sigma$ - и  $f_0$ -мезонов включены автоматически.

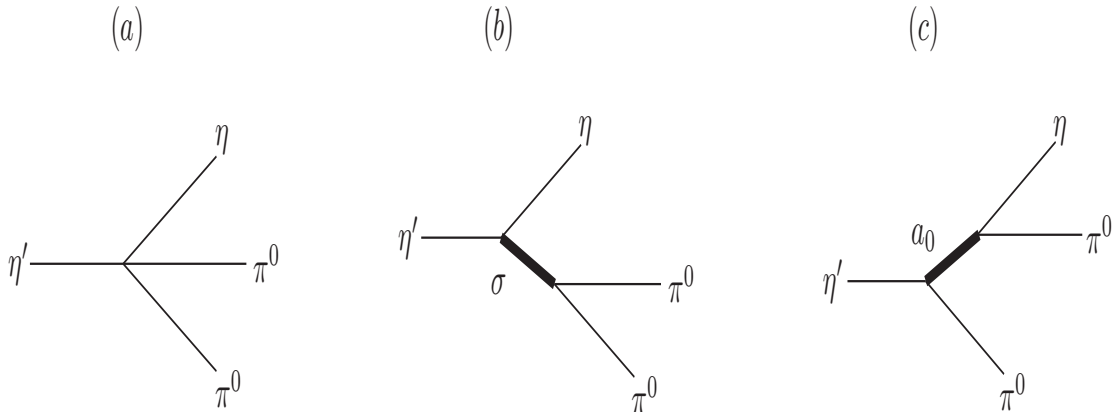


Рис. 1. Характерные диаграммы для процесса  $\eta' \rightarrow \eta\pi^0\pi^0$ : (a) — контактный член; (b) — вклад  $\sigma$ -мезона; (c) — перерассеяние в  $\eta\pi$ -канале.

Полная амплитуда описывается тремя вкладками:

$$\mathcal{A} = \mathcal{A}_{\pi\eta}(s_1) + \mathcal{A}_{\pi\eta}(s_2) + \mathcal{A}_{\pi\pi}(s_3),$$

где  $\mathcal{A}_{\pi\eta}$  и  $\mathcal{A}_{\pi\pi}$  — амплитуды перерассеяния в каналах  $\eta\pi$  и  $\pi\pi$  соответственно,

$$s_1 = (p_2 + p_3)^2, \quad s_2 = (p_1 + p_3)^2, \quad s_3 = (p_1 + p_2)^2$$

и

$$s_1 + s_2 + s_3 = M_{\eta'}^2 + M_{\eta}^2 + 2m_{\pi}^2.$$

За последние годы киральная теория возмущений и уравнения Роя [7] позволили аккуратно описать  $\pi\pi$ -рассеяние при низких энергиях, совпадающих с областью энергии, разрешенной в нашем распаде. Формализм, основывающийся на описанных выше соображениях, позволяет контролировать аналитическое продолжение  $s$ -волновой  $\pi\pi$ -амплитуды в комплексную плоскость, где наблюдается полюс, интерпретируемый как скалярный  $\sigma$ -мезон со значениями массы и ширины

$$M_\sigma = 411_{-8}^{+16} \text{ МэВ}, \quad \Gamma_\sigma/2 = 272_{-12,5}^{+9} \text{ МэВ}.$$

Соотношения унитарности накладывают на амплитуду  $\pi\pi$ -рассеяния довольно жесткие ограничения. Прежде всего, при  $s < (2m_\pi)^2$  она действительна, а при  $s \geq (2m_\pi)^2$  и вплоть до порога рождения пары  $K$ -мезонов ее мнимая часть удовлетворяет простому соотношению

$$\text{Im} \left( \frac{1}{\mathcal{A}_{\pi\pi}(s)} \right) \sim \sqrt{1 - \frac{4m_\pi^2}{s}}.$$

Кроме того, киральная теория возмущений накладывает условие равенства нулю амплитуды при  $s = s_A = m_\pi^2/2$  (адлеровский ноль).

Амплитуда  $\pi\pi$ -рассеяния, удовлетворяющая указанным выше условиям, может быть выражена в виде ряда по переменной

$$w(s) = \frac{\sqrt{s} - \sqrt{4m_K^2 - s}}{\sqrt{s} + \sqrt{4m_K^2 - s}},$$

преобразующей комплексную плоскость переменной  $s$  с разрезами  $s \leq 0$  и  $s \geq (2M_K)^2$  в единичный круг  $|w| < 1$  в комплексной плоскости переменной  $w$ , так что  $w(4M_K^2) = 1$ ,  $w(0) = -1$ . Введение новой переменной разложения позволяет улучшить сходимость ряда в рассматриваемой области переменных. Амплитуда рассеяния при этом может быть представлена в виде

$$\mathcal{A}_{\pi\pi}(s) \sim \kappa t_0^0(s) = \kappa \left\{ \frac{m_\pi^2}{s - s_A} \left[ \frac{2s_A}{m_\pi \sqrt{s}} + B_0 + B_1 w(s) + \dots \right] - i \sqrt{1 - \frac{4m_\pi^2}{s}} \right\}^{-1}, \quad (4)$$

где  $\kappa$  — неизвестная константа, которая может быть определена из фита экспериментальных данных.

Анализ данных NA48/2 по распаду  $K_{e4}$  [8] показывает, что в приведенном выше разложении в интересующей нас области масс можно оставить только первые два члена с коэффициентами

$$B_0 = 7,4, \quad B_1 = -15,1.$$

Указанным значениям  $B_0$  и  $B_1$  соответствуют

$$M_\sigma = 459 \text{ МэВ}, \quad \Gamma_\sigma = 518 \text{ МэВ}.$$

Эти значения слегка отличаются от приведенных выше, однако точность экспериментальных данных распада  $\eta' \rightarrow \eta\pi\pi$  не позволяет различить эти возможности.

В канале  $\pi\eta$  в интересующей нас кинематической области основной вклад связан с виртуальным  $a_0$ -мезоном. Хорошо известно, что  $a_0$ -мезон находится вблизи порога рождения двух  $K$ -мезонов. Эта близость приводит к характерному поведению пропагатора  $a_0$ -мезона, отличающемуся от стандартной Брейт–Вигнеровской формы. Вместо обычной зависимости в пропагатор необходимо ввести зависящую от энергии собственно энергетическую часть, обусловленную петлями  $\pi\eta$ ,  $\pi\eta'$  и  $KK$ . Отметим, что указанные поправки существенны вблизи полюса. В доступной области инвариантных масс  $\eta\pi^0$  распада  $\eta' \rightarrow \eta\pi\pi$  эти поправки незначительны, по крайней мере при существующей на сей день точности эксперимента. Важным для нас оказывается только вид вершин взаимодействия  $a_0$  с парами  $\pi\eta$  и  $\pi\eta'$ .

Существуют несколько способов введения таких вершин. Прежде всего, можно ограничиться простым точечным взаимодействием с эффективными константами  $g_{\pi\eta}$  и  $g_{\pi\eta'}$ . Ограничение на первую из этих констант можно получить из экспериментально известной ширины  $a_0$ -мезона [9]:

$$\Gamma(a_0 \rightarrow \pi^0\eta) = \frac{g_{\pi\eta}^2}{8\pi m_a^2} |\mathbf{p}| \approx \Gamma_{a_0} = 50 \div 100 \text{ МэВ},$$

откуда

$$1,95 \text{ ГэВ} < g_{\pi\eta} < 2,75 \text{ ГэВ}.$$

Константа связи  $g_{\pi\eta'}$  может быть определена из  $SU(3)$ -симметрии [4], или напрямую из исследуемого нами процесса. При этом следует иметь в виду, что  $SU(3)$ -соображения требуют информацию о кварковом строении  $a_0$ -мезона, о чем пока нет устоявшейся точки зрения.

Другой способ ввести вершины взаимодействия связан с киральной теорией возмущений, в этом случае нужно учесть зануление вершины при  $p_\pi \rightarrow 0$ . Тогда представляется логичным использовать вершины типа  $(p_\pi p_\eta) \gamma_{\pi\eta}$  для  $a_0 \rightarrow \pi\eta$ -вершины и  $(p_\pi p_{\eta'}) \gamma_{\pi\eta'}$  для вершины  $\eta' \rightarrow a_0\pi$ , как это сделано, например в [6]. Такое определение кажется более предпочтительным, потому что в амплитуде  $\pi\pi$ -рассеяния такое условие киральной теории уже выполнено. И снова константа  $\gamma_{\pi\eta}$  может быть определена из ширины распада  $a_0 \rightarrow \pi\eta$

$$5,7 \text{ ГэВ}^{-1} < \gamma_{\pi\eta} < 8,1 \text{ ГэВ}^{-1},$$

а для определения константы  $\gamma_{\pi\eta'}$  необходимо использовать соображения  $SU(3)$ -симметрии или исследуемое в этой работе распределение по диаграмме Далитца распада  $\eta' \rightarrow \eta\pi^0\pi^0$ .

Таким образом, для амплитуды перерасеяния в  $\pi\eta$ -канале мы будем использовать два варианта:

$$\mathcal{A}_{\pi\eta}(s) = \frac{g_{\pi\eta} g_{\pi\eta'}}{s - m_a^2 + i\Gamma(s)m_a} \quad (5)$$

или

$$\mathcal{A}_{\pi\eta}(s) = \gamma_{\pi\eta'} \gamma_{\pi\eta} \frac{(p_\eta p_\pi)(p_{\eta'} p_\pi)}{s - m_a^2 + i\Gamma(s)m_a}. \quad (6)$$

## 2. Фит Далитц-плота

В предлагаемой параметризации неизвестными параметрами являются константа связи  $\sigma$ -мезона с  $\eta/\eta' - \kappa$  (см. формулу (4)) и константа связи  $a_0$ -мезона с  $\pi\eta'$  ( $g_{\pi\eta'}$  или  $\gamma_{\pi\eta'}$  в зависимости от выбора типа вершин). Эти константы мы определим, используя ширину распада (1) и фитирования Далитц-плота этого распада, полученного в эксперименте ГАМС-4 $\pi$  [2].

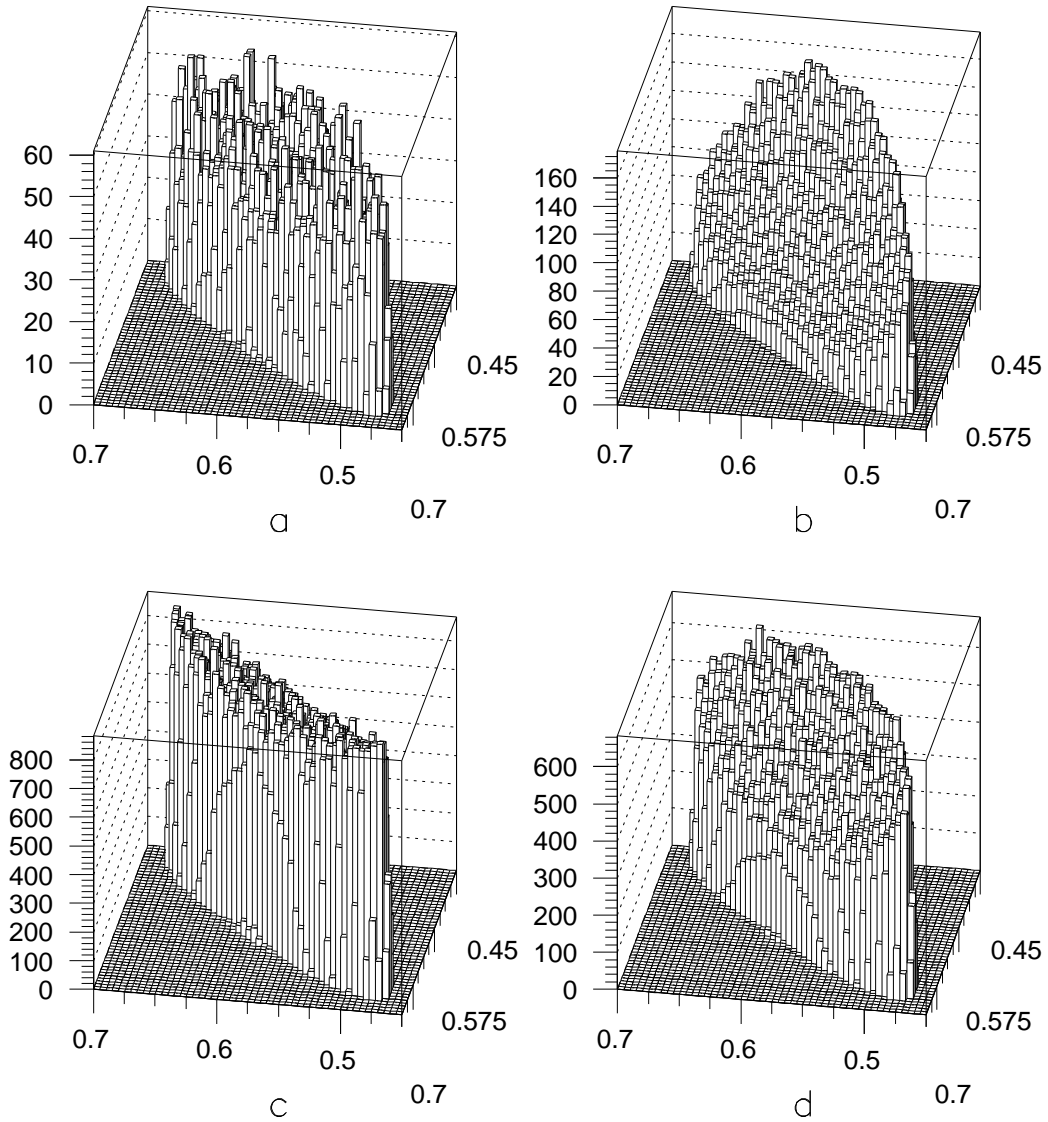


Рис. 2. Далитц-плот распада (1) из работы [2] — (а). Далитц-плот с вкладом только от  $\sigma$ -мезона — (б). Далитц-плот с вкладом только от  $a_0$ -мезона — (с). Интерференционный вклад  $\sigma - a_0$  — (d)

Рассмотрим прежде всего вариант с точечной вершиной взаимодействия  $a_0$ -мезона (5). Лучшее согласие с экспериментом (уровень достоверности фита  $CL = 0,52$ ) наблюдается при значениях констант

$$\begin{aligned}\kappa &= -4,0 \pm 0,3, \\ g_{\pi\eta}g_{\pi\eta'} &= (0,93 \pm 0,3) \text{ ГэВ}^2.\end{aligned}$$

Как уже говорилось, значение константы  $g_{\pi\eta}$  ограничивается шириной распада  $a_0$ -мезона ( $2 \text{ ГэВ} < g_{\pi\eta} < 3 \text{ ГэВ}$ ), что соответствует ограничению на константу связи  $a_0$ -мезона с парой  $\pi\eta'$ :

$$0,36 \text{ ГэВ} < g_{\pi\eta'} < 0,51 \text{ ГэВ}.$$

Если предположить, что  $a_0$ -мезон состоит только из легких кварков ( $a_0 \sim u\bar{u} + d\bar{d}$ ), то эти константы можно связать через угол смешивания псевдоскалярных мезонов  $\eta$  и  $\eta'$ . Так, при использовании кварковой схемы смешивания углом  $\Phi \approx 40^\circ$  [4] их отношение равно

$$\frac{g_{\pi\eta'}}{g_{\pi\eta}} = \tan \Phi = 0,8.$$

Видно, что полученные нами константы этому соотношению не удовлетворяют, но это не является неожиданным ввиду малой информации о внутренней структуре  $a_0$ -мезона.

Иная ситуация наблюдается при параметризации вершин взаимодействия  $a_0$ -мезона, мотивированных киральной теорией возмущений (см. выражение (6)). В этом случае лучшее согласие с экспериментом ( $CL = 0,92$ ) наблюдается при значениях констант

$$\begin{aligned}\kappa &= -4,0 \pm 0,3, \\ \gamma_{\pi\eta}\gamma_{\pi\eta'} &= (35 \pm 4) \text{ ГэВ}^{-2}.\end{aligned}$$

Из экспериментального значения ширины  $a_0$  мезона можно определить константу его связи с парой  $\pi\eta$  ( $5,7 \text{ ГэВ}^{-1} < \gamma_{\pi\eta} < 8,1 \text{ ГэВ}^{-1}$ ). Соответственно, получаются ограничения на константу  $\gamma_{\pi\eta'}$

$$4,6 \text{ ГэВ}^{-1} < \gamma_{\pi\eta'} < 6,6 \text{ ГэВ}^{-1}.$$

Заметим, что эти значения хорошо согласуются с результатами работы [6]. Для отношения этих констант следующее из  $SU(3)$ -симметрии равенство выполняется гораздо лучше, чем в случае простой связи с точечными вершинами.

### 3. Обсуждение результатов

На рис. 2а представлены экспериментальный Далитц–плот распада (1) [2] и результаты моделирования методом Монте–Карло, в котором возможно рассмотреть вклады в (1) отдельно: только  $\sigma$ -резонанса (рис. 2b), только  $a_0$ -мезона (рис. 2c) и интерференции между  $a_0$  и  $\sigma$  (рис. 2d). Как видно из этих распределений, вклад  $a_0$ -мезона доминирует. Вклад  $\sigma$ -мезона заметно меньше, но  $a_0 - \sigma$  интерференция имеет тот же порядок величины, что и  $a_0$ -мезон.



Интересно, что обусловленное вкладом  $a_0$ -мезона  $Y$ -распределение на диаграмме Далитца имеет противоположный по сравнению с экспериментальными данными наклон, и лишь включение  $\sigma$ -мезона исправляет ситуацию. Фит экспериментального Далитц–плота с учетом только  $a_0$ -мезона (гипотетическое распределение такого матричного элемента изображено на рис. 2с) имеет близкий к нулю уровень достоверности. Поэтому, несмотря на кажущийся малый вклад, включение  $\sigma$ -мезона является определяющим в описании экспериментальных данных.

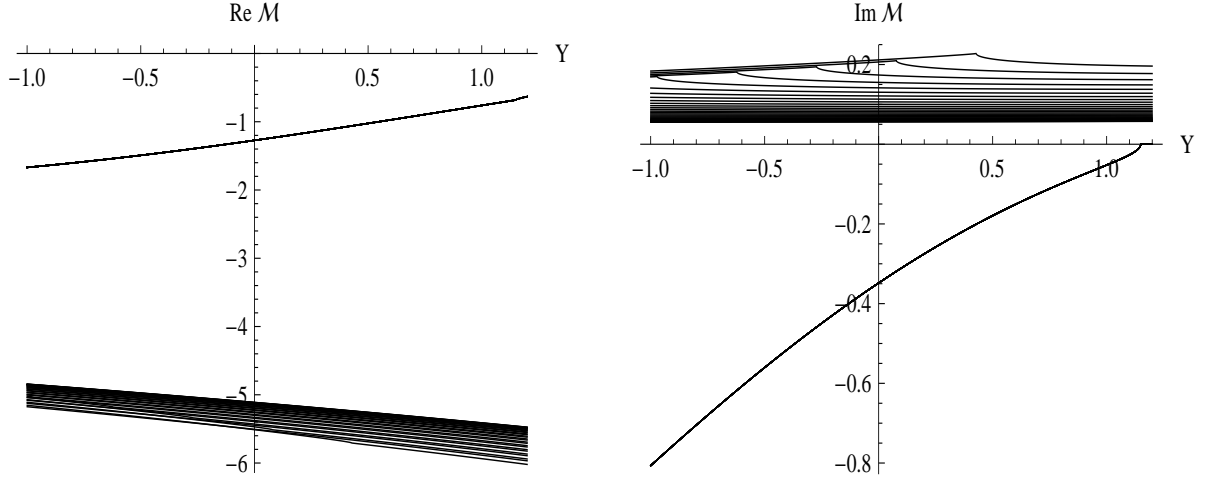


Рис. 3. Действительная и мнимая части амплитуды процесса (1).

Это отчетливо можно проследить, изучая поведение отдельных вкладов в действительную и мнимую части амплитуды рассматриваемого процесса (1). На рис. 3 представлены вещественные и мнимые части амплитуд  $a_0$ - и  $\sigma$ -обмена в зависимости от переменной  $Y$ . Отметим, что в соответствии с нашей параметризацией амплитуда  $\sigma$ -мезона не зависит от переменной  $X$ , что отвечает тонкой линии на этих рисунках. Зависимость от  $X$  амплитуды  $a_0$ -обмена видна из широкой полосы на рис. 3а, соответствующей линиям при различных значениях этой переменной. Поведение амплитуд, изображенных на рис. 3, качественно согласуется с результатами работы [6], хотя наш подход слегка отличается в параметризациях амплитуд  $\pi\pi$ - и  $\eta\pi$ -рассеяния. Из рис. 3 видно, что в вещественной части амплитуды доминирует вклад от обмена  $a_0$ -мезоном, а в мнимой части амплитуды — от обмена  $\sigma$ -мезоном.

Для того чтобы продемонстрировать определяющую роль  $\sigma$ -мезона в распределение событий на диаграмме Далитца, мы представим вклады  $a_0$ -мезона (рис. 4а),  $\sigma$ -мезона (рис. 4б) и суммарный вклад (рис. 4с) в полученный в результате фита квадрат матричного элемента. Из рисунка видно, что соответствующий экспериментальным данным наклон Далитц–плота по переменной  $Y$  можно получить только с включенным  $\sigma$ -мезоном, что мы и считаем доказательством необходимости учета  $\sigma$ -мезона при анализе рассматриваемого процесса.

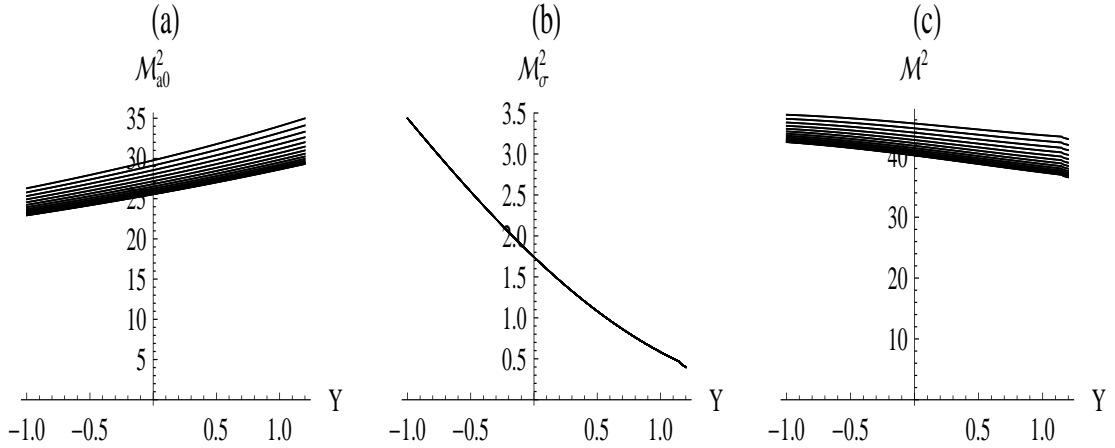


Рис. 4. Вклад в квадрат матричного элемента  $a_0$ -мезона (a),  $\sigma$ -мезона (b) и суммарный вклад (c).

### Заключение

Степенное разложение квадрата матричного элемента по переменным  $X$  и  $Y$ , мотивированное киральной теорией, использовалось до настоящего времени при описании данных в распаде  $\eta' \rightarrow \eta\pi\pi$ . В настоящей работе мы предлагаем альтернативное описание в рамках изобарной модели. При этом мы ограничивались вкладами двух резонансных состояний  $a_0$ - и  $\sigma$ -мезонов и показали, что этих вкладов достаточно для хорошего описания данных. Если для вклада  $a_0$ -мезона хватает простой Брейт–Вигнеровской параметризации, то в случае  $\sigma$ -мезона, из-за его большой ширины, в  $\pi\pi$ -канале требуется более аккуратное описание. Поэтому мы использовали выражение для амплитуды  $\pi\pi$ -рассеяния, примененное при описании данных по  $K_{e4}$ -распаду. В этой амплитуде, удовлетворяющей целому ряду требований,  $\sigma$ -мезон присутствует в виде простого полюса с  $M_{\sigma} = 411_{-8}^{+16}$  МэВ,  $\Gamma_{\sigma}/2 = 272_{-12.5}^{+9}$  МэВ. Были рассмотрены два типа параметризаций для вершин связи  $a_0$ -мезона с  $\eta\pi$  и  $\eta'\pi$  в контексте их сравнения с предсказаниями  $SU(3)$ -симметрии.

Мы нашли, что основной вклад в относительную ширину распада  $\eta' \rightarrow \eta\pi^0\pi^0$  дает рассеяние в  $\pi^0\eta$ -канале через виртуальный  $a_0$ -мезон. В этом пункте результат нашей работы согласуется с результатом [6]. Однако при описании формы распределения по области Далитца существенным является вклад  $\sigma$ -мезона и его интерференции с  $a_0$ -мезоном. Без учета  $\sigma$ -мезона наклон распределения по переменной  $Y$  в области Далитца оказывается противоположным экспериментально наблюдаемому. Включение  $\sigma$ -мезона ситуацию исправляет. Хотелось бы отметить, что  $\sigma$ -мезон является довольно экзотической частицей, ширина которой сравнима с ее массой, а потому экспериментальное наблюдение такого мезона весьма затруднительно.

Мы считаем, что наш анализ распада  $\eta' \rightarrow \eta\pi^0\pi^0$  является дополнительным аргументом в пользу существования  $\sigma$ -мезона.

Работа выполнена в рамках проекта РФФИ 09-02-00132-а и частично поддержана грантом РФФИ 07-02-00417-а. Один из авторов (А.Л.) был поддержан Президентским грантом для молодых кандидатов наук (МК-110.2008.2) и Фондом содействия отечественной науки.

## Список литературы

- [1] D.Alde et al. Phys.Lett. B, V.177 (1987) 115; Д. Алди и др. ЯФ. Т.45 (1987) 117.
- [2] А.М.Блик и др. ЯФ. Т.88 (2008) 123.
- [3] V.Dorofeev et al. Phys. Lett. B 651(2007).
- [4] T. Feldman, P. Kroll, B. Stech. Phys. Lett. B 449 (1999) 339.
- [5] N.A.Tornqvist. Z.Phys. C68, 647(1995).
- [6] A.H.Fariborz, J.Schechter, hep-ph/9902238.
- [7] I.Caprini, G.Colangelo and H.Leutwyler. Phys.Rev.Lett. 96 (2006) 132001.
- [8] I.Caprini. Phys.Rev. D 77(2008) 114019; J.R.Batley et al. (NA48 Collab.) Eur.Phys. J C54 (2008) 411.
- [9] Particle Data Group. Journal of Physics G, V.33(2006).

*Рукопись поступила 10 февраля 2009 г.*

С.В. Донсков, А.К. Лиходед, А.В. Лучинский, В.Д. Самойленко.  
Скалярные мезоны  $\sigma$  и  $a_0$  в распаде  $\eta' \rightarrow \eta\pi^0\pi^0$ .

Оригинал-макет подготовлен с помощью системы **ИТ<sub>E</sub>X**.  
Редактор Н.В.Ежела.

---

Подписано к печати 12.02.2009. Формат  $60 \times 84/8$ .    Офсетная печать.  
Печ.л. 1,45.    Уч.-изд.л. 1,1.    Тираж 80.    Заказ 5.    Индекс 3649.

---

ГНЦ РФ Институт физики высоких энергий  
142281, Протвино Московской обл.

